600 MW 燃煤机组 SCR 装置喷氨优化 调整试验研究

郝功涛,廉珂,姜佳旭,朱跃 (华电电力科学研究院,杭州 310030)

摘 要:以某电厂600 MW 燃煤机组脱硝工程为例,介绍了氨逃逸的危害、选择性催化还原技术(SCR)装置喷氨优化试验的 判断依据以及喷氨优化调整试验的思路、流程及方法。通过喷氨优化调整试验,SCR 装置 A 侧和 B 侧出口 NO_x 质量浓度 分布相对标准偏差由60.8%和28.9%分别降至13.5%和8.8%,氨逃逸质量浓度分别降低了63.4%和53.8%。反应器出口 NO_x 质量浓度分布均匀性得到明显改善,同时氨逃逸质量浓度也得到了控制,提高了机组运行的安全经济性。

关键词:烟气脱硝;SCR;氨逃逸;喷氨优化调整

中图分类号:X 701.7

文献标志码:B

文章编号:1674-1951(2017)07-0073-04

0 引言

2014年9月,国家发改委、环保部及能源局联 合印发了关于《煤电节能减排升级与改造行动计划 (2014-2020年)》的通知, NO, 质量浓度排放限值 由原先的 100.00 mg/m³(标态、干基、6% O₂,下同) 降为 50.00 mg/m3。由于选择性催化还原技术 (SCR)装置具有较高的脱硝效率,目前国内装备 SCR 装置的电厂约占火电总装机容量的 95% [1]。 在实际运行过程中受锅炉燃烧工况、喷氨格栅和氨/ 空气混合系统结构设计、烟道流场均匀性、催化剂种 类和性能等因素影响,普遍存在 SCR 反应器出口 NO, 质量浓度分布均匀性较差、局部氨逃逸过高和 空气预热器(以下简称空预器)堵塞等严重问题。 运行人员一般根据在线氮氧化物监测值调节喷氨 量,来满足达标排放要求。因此,定期开展喷氨优化 调整试验,寻找 SCR 装置喷氨量、NO, 和氨逃逸质 量浓度之间的最佳对应关系,对提高机组运行可靠 性和经济性具有重要意义。

1 氨挑逸的危害及其应对措施

SCR 装置实际运行过程中受烟道流场不均匀、催化剂性能减退、吹灰不及时、喷嘴堵塞、氨/空气混合不均匀、NH₃/NO_x 摩尔比不均匀等因素影响,在保证脱硝效率的前提下会造成氨逃逸超标现象。对于大型燃煤发电机组,当 SCR 装置氨逃逸质量浓度大于 3.79 mg/m³ 时,能感觉明显异味,特别是北方寒冷地区全封闭式 SCR 装置,当氨逃逸质量浓度大

于 $18.97 \, \text{mg/m}^3$ 时,会造成严重人身伤害^[2]。根据国外电厂运行经验,约 20% 的氨逃逸会与烟气中的 SO_3 作用产生 NH_4HSO_4 (ABS),且 ABS 的熔点为 $147 \, ^{\circ}$,在低温下以液滴形式分散于烟气中,容易造成下游空预器冷端设备腐蚀和堵塞,影响锅炉的安全、经济运行^[3]。此外, NH_3 还可能与烟气中的含氯物质反应生成氯化铵,产生烟羽现象。

常见的氨逃逸控制手段主要有:更换失活催化剂、优化反应器入口烟气流场、喷氨格栅(AIG)优化调整和反应器内部清灰等。对于现役的 SCR 烟气脱硝系统,在系统设备和系统布置无法改变时,通过 AIG 优化调整,能够改善 NH₃/NO_x 摩尔比分布均匀性,降低氨逃逸质量浓度,提高脱硝效率。

2 SCR 装置喷氨优化调整试验

当实际运行过程中,出现 SCR 反应器出口 NO_x 质量浓度分布偏差较大、与烟囱入口 NO_x 质量浓度偏差大于 $15.00 \sim 20.00$ mg/m³、空预器的阻力明显高于正常值、飞灰及脱硫浆液中氨含量较高等情况时,需考虑进行喷氨优化调整试验。使 SCR 反应器出口 NO_x 质量浓度偏差系数 (C_v) 控制在 20% 以内 [4-6]。

2.1 设备概况

某电厂2×600 MW 超临界凝汽机组,SCR 装置采用高温高尘布置方式,每台锅炉配备2个 SCR 反应器,催化剂采用"2+1"模式布置。设计条件下SCR 反应器人口NO_x 质量浓度为500.00 mg/m³,加装第三层预留层催化剂后,脱硝效率不低于90%,氨逃逸不大于2.28 mg/m³,SCR 反应器装置入口设计参数详见表1。

表 1 SCR 反应器入口设计参数

项目	说明
催化剂类型	蜂窝式
烟气量/(m³·h ⁻¹)	1 929 913
省煤器出口烟气温度/℃	357
人口 02 体积分数/%	3.54
人口 NO _x 质量浓度/(mg・m ⁻³)	500.00
人口 SO ₂ 质量浓度/(mg・m ⁻³)	5 685.00
入口 SO ₃ 质量浓度/(mg・m ⁻³)	56.00
人口烟尘质量浓度/(g・m ⁻³)	50.00
脱硝效率	不小于90%
氨逃逸质量浓度/(mg·m ⁻³)	€2.28

SCR 反应器出口采用单点抽样监测方式,且使用抽取法测量 NO_x 质量浓度时,普遍存在信号传输滞后现象。烟气排放连续监测系统表盘数据不能完全反映整个烟道的截面处 NO_x 和氨逃逸质量浓度,SCR 装置在运行过程中根据单点监测结果进行自动调节。

2.2 喷氨格栅简介

该 SCR 装置采用分区控制式喷射格栅喷氨技术,将烟道截面沿宽度方向划分成7个大控制区域,如图1所示。每个大控制区域沿烟道深度方向分成3个子控制区域,一个反应器共21个子控制区域,每个子控制区域有4个喷嘴。每个子控制区域中对应一根喷氨支管。单个反应器共21根喷氨支管,每根支管上配置1个节流阀,通过调整21个节流阀的开度来调节每根支管的喷氨量。

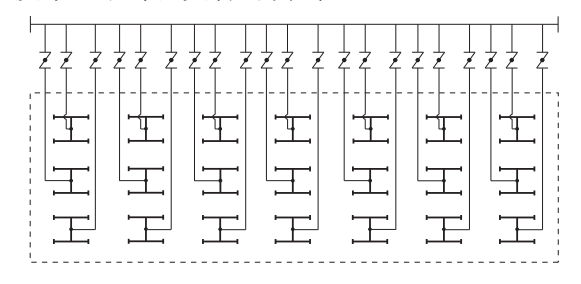


图 1 喷氨格栅喷嘴和喷氨节流阀布置

2.3 调整方法

喷氨格栅的优化调整试验选择在锅炉常规负荷 (480 MW), NH₃/NO_x 摩尔比在设计值的运行条件 下进行。试验期间要求煤质稳定,负荷及配风方式 保持稳定, SCR 反应器人口 NO_x 质量浓度稳定;尽量避免蒸汽吹灰。喷氨优化调整具体试验方法如图 2 所示。

首先对 SCR 反应器人口 NO_x 质量浓度、烟气流速及温度分布进行摸底试验,查清喷氨格栅各阀门初始开度及其调节特性。然后测量 SCR 反应器出口 NO_x 质量浓度及氨逃逸质量浓度分布。根据常

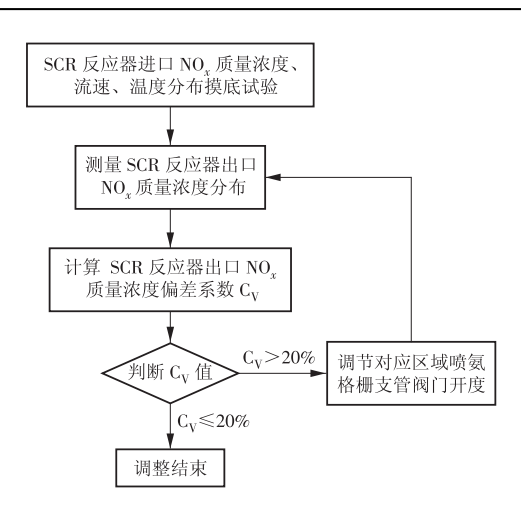


图 2 SCR 装置喷氨优化调整试验方法

规工况的摸底试验结果,调整各喷氨格栅支管的喷氨量。首先适当调高 NO_x 较高的区域的喷氨量,减小 NO_x 较低区域的喷氨量,调整后重新测量 SCR 反应器出口的氮氧化物分布。优化试验是逐步进行的,需要进行多次调整,直至调整合格。试验过程中不宜进行大幅度的调整,应选择 2~3 个点进行小幅调整,掌握具体反应器的特征后再逐步调整,每次调整应记录被调阀门的原始位置及调整幅度,最终达到"削峰填谷"的效果。

为了能准确地反映反应器进、出口截面的 NO_x 质量浓度分布情况,分别在反应器 A,B 侧烟道截面处设置 7×5个测点。试验使用德国罗斯蒙特 NGA2000 型便携式红外烟气分析仪及烟气预处理 装置网格法测量 NO_x 质量浓度和 O₂ 体积分数;烟气流速采用 S 型皮托管和电子微压计进行测量;采用标准化学溶液法采集氨逃逸样品,使用靛酚蓝分光光度法在 12 h 内完成样品分析。

3 AIG 优化调整试验结果与分析

3.1 SCR 反应器入口 NO_x 质量浓度分布情况

SCR 反应器 A 至 B 侧方向的测孔位置依次编号为 A1,A2···A7,B7,B6···B1,每个测点取 5 个不同深度,依次为 P1,P2,P3,P4,P5。为了更好地对喷氨量作出精细化调整,试验前对脱硝反应器入口 NO_x质量浓度分布情况进行了摸底测试,试验结果如图 3 所示。

在常规运行负荷下,SCR 反应器 A 侧入口 NO_x 质量浓度平均值为 491.00 mg/m^3 , NO_x 质量浓度分布相对标准偏差为 3.1%;SCR 反应器 B 侧入口 NO_x 质量浓度平均值为 507.00 mg/m^3 , NO_x 质量浓度分布相对标准偏差为 3.0%。SCR 反应器入口 NO_x 质量浓度接近设计值 500.00 mg/m^3 ,且 NO_x 质量浓度分布均匀性较好。

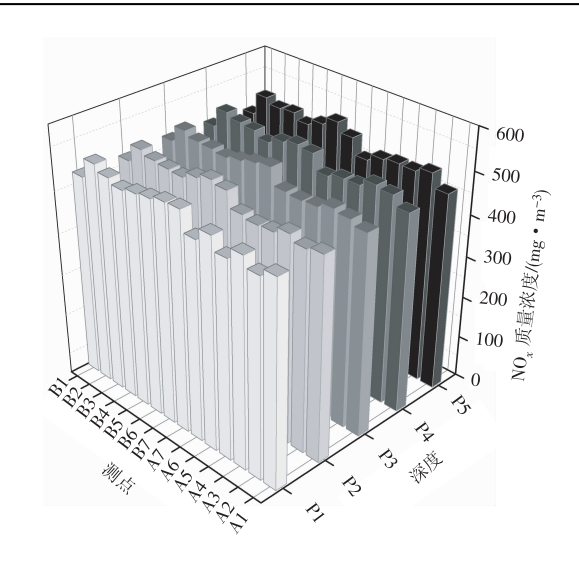


图 3 SCR 反应器入口 NO_x 质量浓度分布(截图) 3.2 优化调整前 SCR 反应器出口 NO_x 质量浓度分布情况

在常规运行负荷下,喷氨优化调整试验前 SCR 反应器出口 NO_x 质量浓度分布情况如图 4 所示。

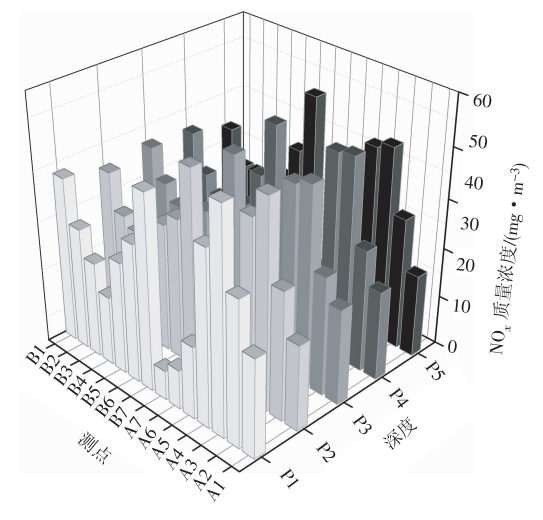


图 4 喷氨优化调整前 SCR 反应器出口 NO_x 质量浓度分布(截图)

由图 4 可看出,SCR 反应器 A 侧出口沿反应器外侧至锅炉中心线方向, NO_x 质量浓度分布明显呈两侧偏低中间偏高现象,特别是靠近锅炉中心线一侧 NO_x 质量浓度明显处于异常较低水平。A 侧反应器出口截面 NO_x 质量浓度最大值为 67.00 mg/m^3 ,最小值为7.00 mg/m^3 ,平均水平为 33.00 mg/m^3 , NO_x 质量浓度分布相对标准偏差为 60.8%。

B 侧出口沿反应器外侧至锅炉中心线, NO_x 质量浓度分布呈两侧偏高中间偏低分布特点。B 侧反应器出口截面 NO_x 质量浓度最大值为 64.00 mg/m^3 ,最小值为 21.00 mg/m^3 ,平均水平为 40.00 mg/m^3 , NO_x 质量浓度分布相对标准偏差为 28.9%。

与 A 侧相比, B 侧反应器出口均匀性较好。但

SCR 反应器出口 A, B 两侧 NO_x 质量浓度分布相对标准偏差均大于 20.0%, 有必要进行喷氨格栅的优化调整试验。

3.3 优化调整后 SCR 反应器出口 NO_x 质量浓度 分布情况

根据 SCR 反应器出口 NO_x 分布及氨逃逸摸底测试结果,合理调节脱硝反应器 A,B 两侧各喷氨格栅支管阀门开度,以期达到出口截面 NO_x 质量浓度分布相对标准偏差控制在 20% 以内的目标。

经过数轮喷氨优化调整后,反应器出口截面 NO_x 质量浓度较高的区域有所降低,NO_x 质量浓度较低的区域有所提高,达到了"削峰填谷"的效果。喷氨优化调整试验后的 NO_x 质量浓度分布情况如图 5 所示。

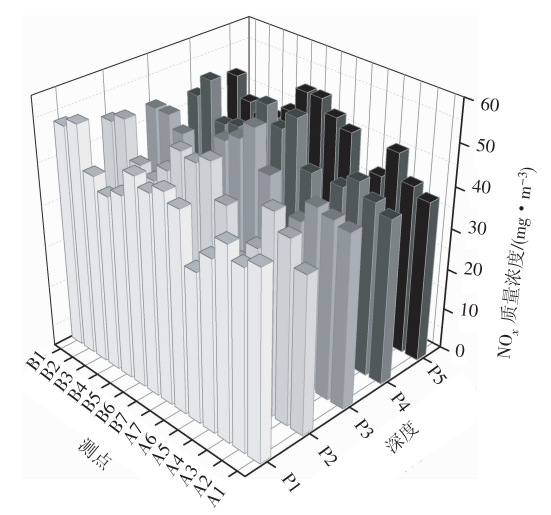


图 5 喷氨优化调整后 SCR 反应器出口 NO_x 质量浓度分布(截图)

由图 5 可看出,在机组常规负荷运行、SCR 反应器入口 NO_x 质量浓度分布较为均匀的情况下,经数轮喷氨优化调整,反应器出口 NO_x 质量浓度分布均匀性得到明显改善。SCR 反应器 A 侧和 B 侧出口 NO_x 质量浓度分布相对标准偏差由调整前的60.8%和28.9%,分别降至13.5%和8.8%。

为进一步验证喷氨优化调整的结果,对 SCR 反应器两侧出口共 10 个测孔的氨逃逸进行了测试,调整前后各测孔平均氨逃逸质量浓度试验结果如图 6 所示。SCR 反应器 A 侧和 B 侧出口氨逃逸质量浓度平均值由调整前的 5.54 mg/m³ 和 4.31 mg/m³ 分别下降至 2.03 mg/m³ 和 1.99 mg/m³, A 侧和 B 侧 SCR 反应器出口氨逃逸质量浓度分别降低了63.4%和53.8%。

经数轮喷氨优化调整试验后,虽然个别测点平均氨逃逸率仍然有波动,但是相比优化调整前,SCR 反应器 A 侧和 B 侧出口氨逃逸质量浓度平均水平

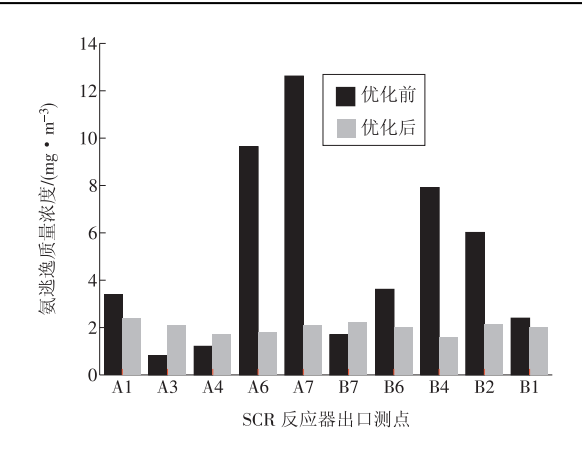


图 6 喷氨优化调整前后 SCR 反应器 出口氨逃逸质量浓度分布(截图)

显著降低,特别是 A 侧氨逃逸质量浓度降低更为明显。

4 结论

- (1)经喷氨优化调整,SCR 反应器出口 A 侧和 B 侧 NO_x 质量浓度分布相对标准偏差由 60.8% 和 28.9%,分别降至 13.5% 和 8.8%。 氨逃逸质量浓度分别降低了 63.4% 和 53.8%。 反应器出口 NO_x 质量浓度分布均匀性得到明显改善,同时氨逃逸质量浓度也得到了控制。
- (2)由于氨逃逸在线连续监测数据与实际情况 偏差较大,建议密切关注空预器差压,定期进行氨逃 逸测试,由飞灰中氨含量辅助推断氨逃逸状况。
- (3)停机检修期间对脱硝催化剂层进行严格检查,观察其堵塞与磨损状况,并进行必要的处理。

(上接第72页)燃煤时,适当掺入低灰分煤种,调整除尘器运行参数和振打方式,同时尽量缩短输灰系统循环周期。

(6)减少开机过程中油燃料投入时间,降低锅炉燃烧调整的幅度,减少灰斗中的自燃和黏着现象。当锅炉采取油煤混烧方式时,少量没有燃烧充分的细微油颗粒与灰颗粒混合,造成油灰流动性差^[4]。锅炉燃烧调整阶段有可能出现燃烧不充分现象,飞灰的含碳量大、密度大,不利于流动。运行检修人员应密切注意锅炉点火阶段的运行状态,提前开动除尘器振打装置,缩短输灰系统循环周期。

5 结束语

除尘器系统和气力除灰系统的运行情况直接影响机组的正常运行,甚至可能造成机组停机。由于 灰斗积灰堵塞造成的除尘器系统停运是诸多原因长时间积累的结果,因此,应采取合理的控制手段并加 (4)鉴于影响脱硝效率的因素比较复杂,及催化剂问题具有隐蔽性,建议根据实际运行情况,定期进行氨逃逸质量浓度和脱硝效率联合优化调整试验工作。

参考文献:

- [1] TIAN H, LIU K, HAO J, et al. Nitrogen oxides emissions from thermal power plants in china current status and future predictions [J]. Environ Sci Technol, 2013, 47 (19):11350 11357.
- [2]李俊华,杨恂,常化振.烟气催化脱硝关键技术研发及应用[M].北京:科学出版社,2015.
- [3]马双忱,金鑫,孙云雪,等. SCR 烟气脱硝过程硫酸氢铵的生成机理与控制[J]. 热力发电,2010,39(8):12-17.
- [4] FELIX JD, ELLIOTT EM, SHAW SL. Nitrogen isotopic composition of coal-fired power plant NO_x: influence of emission controls and implications for global emission inventories [J]. Environ Sci Technol, 2012, 46(6):3528 3535.
- [5] LEI Z, WEN C, CHEN B. Optimization of internals for Selective Catalytic Reduction (SCR) for NO removal [J]. Environ Sci Technol, 2011, 45(8):3437 3444.
- [6]方朝君,金理鹏,余美玲. SCR 脱硝喷氨优化与运行控制研究[J]. 电力科技与环保,2015,31(6):39-42.

(本文责编:刘炳锋)

作者简介:

郝功涛(1987—),男,山西孝义人,工程师,工学硕士, 从事火电行业锅炉及环保技术研究工作(E-mail:gongtao - hao @ chder.com)。

强日常运行监视和巡检,以保证除尘除灰系统正常、 稳定运行。

参考文献:

- [1]吴玉生. 燃煤电厂烟尘超低排放技术路线比选研究[J]. 能源与节能,2016(4);5-7,9.
- [2]金维勤. 气力除灰实际应用中应关注的事项[J]. 电力建设,2008,29(9):50-52.
- [3]火力发电厂除灰设计技术规程:DL/T 5142—2012[S].
- [4] 张晓博. 火电厂电除尘灰斗积灰简单判别[J]. 华电技术,2014,36(10):63-64,66.

(本文责编:刘芳)

作者简介:

符思聪(1989—),男,湖南长沙人,工程师,从事电力行业环境保护工作(E-mail;fscwhu@163.com)。